Palco Einbauleuchten / Aufbauleuchten

Design Artec Studio | **iGuzzini**

Letzte Aktualisierung der Informationen: Februar 2025

Produktkonfiguration: QX32
QX32: Palco lineare Aufbauleuchte 2 x Ø51 - Flood - Remote-Vorschaltgerät

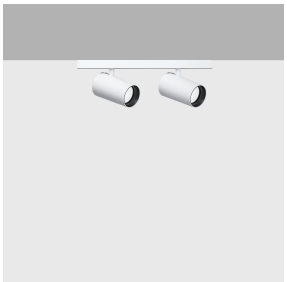

Produktcode
QX32: Palco lineare Aufbauleuchte 2 x Ø51 - Flood - Remote-Vorschaltgerät

Beschreibung
Lineare Aufbauleuchte mit 2 miniaturisierten, schwenkbaren Strahlern. Korpus der Strahler mit Wärmeableitungssystem aus Aluminiumdruckguss - Rotationselemente aus Zamakdruckguss - Befestigungsplatte für die Montage aus profiliertem Stahl - lineare Oberflächenstruktur aus stranggepresstem Aluminium mit mechanischem Befestigungssystem - seitliche Abschlussteile aus Thermoplast. Die Gelenke der Strahler ermöglichen eine Drehung um 360° und eine Neigung um 90°. Die Optik-Einheiten in zurückgesetzter Position gewährleisten dank der Hochauflösungsreflektoren aus Thermoplast einen hohen Sehkomfort. Versorgungseinheit nicht inbegriffen, mit getrenntem Code verfügbar.

Farben	**Gewicht (Kg)**
Weiß (01) | Schwarz (04)	0.67

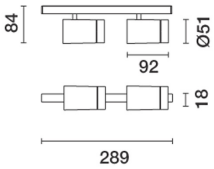

Montage
Wandanbauleuchte|Deckenanbauleuchte

Verkabelung
Befestigung der Platte an der Installationsoberfläche - Einsetzen der Struktur mittels mechanischem Befestigungsmechanismus - abschließendes Einfügen der seitlichen Abschlussteile. Das spezielle Befestigungssystem bietet die Möglichkeit zur Installation als Lichtband durch Zusammenstellung mehrerer linearer Module.

Anmekungen
Austretende Kabel für den Anschluss an die Versorgungsleitung.

Gemäß der Normen EN60598-1 u. Sondernormen

IP20

Technische Daten

Im System:	1841	CRI (minimum):	90
W System:	30	Farbtemperatur [K]:	4000
Im Lichtquelle:	1560	MacAdam Step:	2
W Lichtquelle:	15	Lebensdauer LED 1:	> 50,000h - L90 - B10 (Ta 25°C)
Lichtausbeute (lm/W, Systemwert):	61.4	Lampencode:	LED
Im im Notlichtbetrieb:	-	Anzahl Lampen in Leuchtengehäuse:	1
abgegebener Lichtstrom bei/ über einem Winkel von 90° [lm]:	0	ZVEI-Code:	LED
Leuchtenbetriebswirkungsgrad (L.O.R.) [%]:	59	Anzahl Leuchtengehäuse:	2
Abstrahlwinkel [°]:	40° / 41°	LED Strom [mA]:	400

Polardiagramm

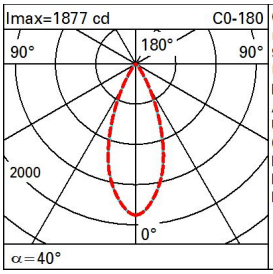

CIE
nL 0.59
97-100-100-100-59
UGR 17.7-17.8
DIN
A.61
UTE
0.59A+0.00T
F"1=969
F"1+F"2=998
F"1+F"2+F"3=1000

Lux

h	d1	d2	Em	Emax
2	1.4	1.5	359	469
4	2.9	2.9	90	117
6	4.3	4.4	40	52
8	5.8	5.8	22	29

Wirkungsgrad

R	77	75	73	71	55	53	33	00	DRR
K0.8	53	50	48	46	49	47	47	45	76
1.0	55	52	50	49	52	50	50	48	81
1.5	58	56	54	53	55	54	53	52	87
2.0	60	58	57	56	58	57	56	54	92
2.5	61	60	59	58	59	58	58	56	95
3.0	62	61	60	60	60	59	59	57	97
4.0	62	62	62	61	61	61	60	58	99
5.0	63	62	62	62	61	61	60	59	100

Söllner-Diagramm

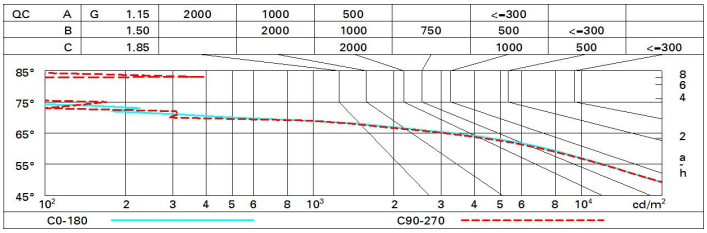

UGR-Diagramm

Corrected UGR values (at 1560 lm bare lamp luminous flux)

Riflect.:											
ceil/cav		0.70	0.70	0.50	0.50	0.30	0.70	0.70	0.50	0.50	0.30
walls		0.50	0.30	0.50	0.30	0.30	0.50	0.30	0.50	0.30	0.30
work pl.		0.20	0.20	0.20	0.20	0.20	0.20	0.20	0.20	0.20	0.20
Room dim		viewed crosswise					viewed endwise				
x	y										
2H	2H	18.2	18.8	18.5	19.1	19.3	18.4	19.0	18.7	19.2	19.5
	3H	18.1	18.6	18.4	18.9	19.2	18.3	18.8	18.6	19.1	19.4
	4H	18.0	18.5	18.3	18.8	19.1	18.2	18.7	18.5	19.0	19.3
	6H	17.9	18.4	18.3	18.7	19.1	18.1	18.6	18.5	18.9	19.2
	8H	17.9	18.4	18.3	18.7	19.0	18.1	18.5	18.4	18.9	19.2
	12H	17.9	18.3	18.2	18.6	19.0	18.0	18.5	18.4	18.8	19.2
4H	2H	18.0	18.6	18.4	18.9	19.2	18.2	18.7	18.5	19.0	19.3
	3H	17.9	18.3	18.3	18.7	19.0	18.0	18.5	18.4	18.8	19.2
	4H	17.8	18.2	18.2	18.6	18.9	18.0	18.4	18.4	18.7	19.1
	6H	17.7	18.1	18.1	18.4	18.9	17.9	18.2	18.3	18.6	19.0
	8H	17.7	18.0	18.1	18.4	18.8	17.8	18.1	18.3	18.6	19.0
	12H	17.6	17.9	18.1	18.3	18.8	17.8	18.1	18.2	18.5	18.9
8H	4H	17.7	18.0	18.1	18.4	18.8	17.8	18.1	18.3	18.6	19.0
	6H	17.6	17.8	18.0	18.3	18.7	17.7	18.0	18.2	18.4	18.9
	8H	17.5	17.7	18.0	18.2	18.7	17.7	17.9	18.2	18.4	18.9
	12H	17.5	17.7	18.0	18.1	18.7	17.6	17.8	18.1	18.3	18.8
12H	4H	17.6	17.9	18.1	18.3	18.8	17.8	18.1	18.2	18.5	18.9
	6H	17.5	17.7	18.0	18.2	18.7	17.7	17.9	18.2	18.4	18.9
	8H	17.5	17.7	18.0	18.1	18.7	17.6	17.8	18.1	18.3	18.8

Variations with the observer position at spacing:

S =	1.0H	4.9 / -7.9	4.9 / -8.1
	1.5H	7.7 / -11.8	7.6 / -12.3
	2.0H	9.7 / -20.3	9.6 / -20.5